



Laboratorium EMVO Sp. J. Urbański, Pawełak

ul. Jasna 1  
00-013 Warszawa

tel. +48 22 780 29 64

e-mail: laboratorium@emvo.pl



AB 1630

## Sprawozdanie z pomiarów pól elektromagnetycznych - środowisko nr 14/06/OŚ/2023-P4



<b>Nr i nazwa stacji</b>	<b>GDA0023C</b>	
<b>Adres</b>	<b>Gdańsk, Baczyńskiego 2, pow. Gdańsk, woj. pomorskie</b>	
<b>Opracowanie</b>	<b>Wiesław Laskowski</b>	<b>Specjalista ds. pomiarów</b>
<b>Autoryzacja</b>	<b>Andrzej Urbański</b>	<b>Kierownik Laboratorium</b>
<b>Podpis</b>		
<b>Data</b>	<b>2023-06-21</b>	

„Bez pisemnej zgody Laboratorium niniejsze sprawozdanie nie może być powielane inaczej, jak tylko w całości. Ponadto wyniki dotyczą tylko badanych obiektów przywołanych w niniejszym sprawozdaniu z badań”

14/06/OŚ/2023-P4

Strona 1 z 11

## Spis treści

1. Informacje ogólne.....	3
2. Podstawa prawna. ....	3
3. Opis pomiarów.....	3
4. Zróżnicowanie dopuszczalne poziomy pól elektromagnetycznych.....	4
5. Charakterystyka źródeł PEM.....	5
6. Wyniki pomiarów.....	6
7. Stwierdzenie zgodności .....	8
8. Oświadczenie.....	8
9. Spis załączników. ....	8

## 1. Informacje ogólne.

Zleceniodawca	P4 Sp. z o.o., ul. Wynałazek 1, 02-677 Warszawa osoba udzielająca informacji – Magdalena Sokół
Istotne informacje dostarczone przez klienta	komplet informacji niezbędnych do wykonania pomiarów i opracowania sprawozdania
Dane otrzymane od klienta mogące mieć wpływ na ważność wyników	dane anten sektorowych, dane anten radioliniowych, parametry pracy instalacji, poprawka pomiarowa
Prowadzący instalację	P4 sp. z o.o., ul. Wynałazek 1, 02-677 Warszawa
Lokalizacja obiektu	Gdańsk, Baczyńskiego 2, pow. Gdańsk, woj. pomorskie
Miejsce instalacji anten	dach
Miejsce instalacji urządzeń	outdoor
Osoby wykonujące pomiar	Roman Murawski - pomiarowiec
Data wykonania pomiaru	2023-06-21
Godzina rozpoczęcia pomiaru	9.50
Godzina zakończenia pomiaru	12.00
Temperatura na początku pomiaru [°C]	31
Temperatura na koniec pomiaru [°C]	31
Warunki atmosferyczne	brak opadów
Wilgotność na początku pomiaru [%]	54
Wilgotność na koniec pomiaru [%]	54
Inne źródła pól elektromagnetycznych oznaczone na załączniku graficznym	występują
Parametry pracy instalacji	tryb eksploatacyjny

## 2. Podstawa prawna.

### 2.1 Normy i rozporządzenia:

- Obwieszczenie Ministra Klimatu i Środowiska z dnia 21 listopada 2022 r. w sprawie ogłoszenia jednolitego tekstu rozporządzenia Ministra Klimatu w sprawie sposobów sprawdzania dotrzymania dopuszczalnych poziomów pól elektromagnetycznych w środowisku (Dz.U. 2022 poz. 2630)
- Rozporządzenie Ministra Zdrowia z dnia 17 grudnia 2019 r. w sprawie dopuszczalnych poziomów pól elektromagnetycznych w środowisku (Dz.U. 2019 poz. 2448)
- Obwieszczenie Marszałka Sejmu Rzeczypospolitej Polskiej z dnia 1 grudnia 2022 r. w sprawie ogłoszenia jednolitego tekstu ustawy - Prawo ochrony środowiska (Dz.U. 2022 poz. 2556).

## 3. Opis pomiarów

Metodologia pomiarowa      Pomiary w oparciu o Rozporządzenie Ministra Klimatu z dnia 17 lutego 2020 r. w sprawie sposobów sprawdzania dotrzymania dopuszczalnych poziomów pól elektromagnetycznych w środowisku (Dz.U. 2022 poz. 2630).

Cel badań                      Określenie wartości natężenia pola elektrycznego w miejscach dostępnych dla ludności.

Opis zestawu pomiarowego	<p>Miernik Narda NBM 550, Sonda EF-6092, o zakresie pomiarowym 0,7 V/m –300V/m pracująca w paśmie 0,1 – 90 GHz, świadectwo wydane przez Laboratorium Wzorców i Metrologii Pola Elektromagnetycznego, Instytut Telekomunikacji, Teleinformatyki i Akustyki Politechniki Wrocławskiej. Świadectwo ważne do 10.06.2024 r.</p> <p>Miernik Narda NBM 550, Sonda EF-6092 pracująca w zakresie temperatury -10°C - +50°C oraz wilgotności 5% - 95%</p> <p>Niepewność rozszerzona wynosi 58,8% przy poziomie ufności 95% z uwzględnieniem współczynnika rozszerzenia k=2.</p>
Wyposażenie pomocnicze	<p>Termohigrometr Bestone, Nr. inwentarzowy 03/WL, nr identyfikacyjny 1222436, typ: GM1362-EN-00, świadectwo wzorcowania z dn. 22.12.2015 r. wydane przez Laboratorium Pomiarowe „MUTECH”.</p> <p>Przymiar wstęgowy STABILA, Nr. inwentarzowy 06/WL, nr identyfikacyjny 06WL, świadectwo wzorcowania z dn. 22.09.2021 r. wydane przez Zespół Laboratoriów wzorcujących Okręgowego Urzędu Miar w Gdańsku.</p> <p>GPS Garmin 64s okresowo sprawdzany w punktach osnowy geodezyjnej klasy 3 na podstawie licencji punktu, zgodnie z procedurą sprawdzeń okresowych IS/PO-16-11/03.</p>
Pomiary zostały wykonane	<ol style="list-style-type: none"> <li>na głównych i pomocniczych kierunkach pomiarowych, na kierunkach zbliżonych do azymutów anten oraz w dodatkowych pionach pomiarowych zgodnie z wymaganiami pkt 12, 13, 14 i 19 Rozporządzenia Ministra Klimatu z dnia 17 lutego 2020 r. (Dz.U. 2022 poz. 2630).</li> <li>na obszarze pomiarowym, dla którego, na podstawie uprzednio przeprowadzonych obliczeń stwierdzono w miejscach dostępnych dla ludności występowanie pól elektromagnetycznych o najwyższym poziomie, które pochodzą z badanej instalacji zgodnie z wymaganiami pkt 5 ppkt 2 oraz pkt 13 ppkt 1 Rozporządzenia Ministra Klimatu z dnia 17 lutego 2020 r. w sprawie sposobów sprawdzania dotrzymania dopuszczalnych poziomów pól elektromagnetycznych w środowisku (Dz.U. 2022 poz. 2630). Wyniki obliczeń nie uwzględniały parametrów pracy instalacji innych operatorów występujących na obiekcie bądź w obszarze pomiarowym.</li> <li>w miejscach dostępnych dla ludności.</li> <li>miejsca niedostępne podczas wykonywania pomiarów wskazane zostały w pkt 6 (tabeli wyniki pomiarów).</li> </ol>
Szczególne warunki podczas wykonywania pomiarów	Pomiary wykonane zostały podczas obowiązywania w kraju stanu zagrożenia epidemicznego, zgodnie z art. 122a ust. 1b Ustawy z dnia 27 kwietnia 2001 r. – Prawo ochrony środowiska (Dz. U. z 2019 r. poz. 1396, z późn. zm.9))
Warunki pracy urządzeń nadawczych	Tryb pracy eksploatacyjny.

#### 4. Zróżnicowanie dopuszczalne poziomy pól elektromagnetycznych.

Zakresy znajdują się w Dzienniku Ustaw z dnia 17 grudnia 2019 r. przedstawione są w tabeli nr 2 (Dz. U. z 2019r. poz. 2448).

Zakres częstotliwości pola elektromagnetycznego	Parametr fizyczny		
	Składowa elektryczna E (V/m)	Składowa magnetyczna H (A/m)	Gęstość mocy S (W/m <sup>2</sup> )
od 400 MHz do 2000 MHz	$1,375 \times f^{0,5}$	$0,0037 \times f^{0,5}$	$f / 200$
od 2 GHz do 300 GHz	61	0,16	10

## 5. Charakterystyka źródeł PEM.

Zgodnie z informacją otrzymaną od klienta pomiary zostały wykonane przy ustawieniach pochylenia anten zgodnych z pkt. 13, ppkt 2 załącznika do rozporządzenia Ministra Klimatu z dnia 17 lutego 2020 roku.

Tabela 1. Anteny sektorowe - dane otrzymane od klienta

Charakterystyka promieniowania		kierunkowa									
Rzeczywisty czas pracy [h/dobę]		24									
Rodzaj wytwarzanego pola		stacjonarne									
Lp.	Wyszczególnienie	sektor 1					sektor 2				
I	Nadajnik stacji bazowej:										
1	Typ / Producent	DBS/RBS / Overlay Huawei/Ericsson									
2	Częstotliwość (pasmo) MHz	2600	800	2100	1800	900	2600	800	2100	1800	900
3	Maksymalna moc nadawana na sektor [dBm]	52,04	49,03	53,01	53,01	47,78	52,04	49,03	53,01	53,01	47,78
II	Obciążenie:										
1	Typ anteny	Huawei ATR4517R1		Huawei ATR4518R13			Huawei ATR4517R1		Huawei ATR4518R13		
2	Producent anteny	Huawei		Huawei			Huawei		Huawei		
3	Ilość anten	1		1			1		1		
4	Azymut	60					150				
5	Zakres kątów pochylenia anten [°]	0,00-10,00	0,00-14,00	0,00-10,00	0,00-10,00	0,00-14,00	0,00-10,00	0,00-14,00	0,00-10,00	0,00-10,00	0,00-14,00
6	Wysokość zainst. n.p.t. [m]	35,70					35,70				
7	EIRP [W]	11615		24653			11615		24653		

Charakterystyka promieniowania		kierunkowa									
Rzeczywisty czas pracy [h/dobę]		24									
Rodzaj wytwarzanego pola		stacjonarne									
Lp.	Wyszczególnienie	sektor 3					sektor 4				
I	Nadajnik stacji bazowej:										
1	Typ / Producent										
2	Częstotliwość (pasmo) MHz	2600	2100	1800	900	800	2600	2100	1800	900	800
3	Maksymalna moc nadawana na sektor [dBm]	52,04	53,01	53,01	47,78	49,03	52,04	53,01	53,01	47,78	49,03
II	Obciążenie:										
1	Typ anteny	Huawei ASI4518R14					Huawei ASI4518R14				
2	Producent anteny	Huawei					Huawei				
3	Ilość anten	1					1				
4	Azymut	240					330				
5	Zakres kątów pochylenia anten [°]	2,00-12,00	2,00-12,00	2,00-12,00	0,00-14,00	0,00-14,00	2,00-12,00	2,00-12,00	2,00-12,00	0,00-14,00	0,00-14,00
6	Wysokość zainst. n.p.t. [m]	35,70					35,70				
7	EIRP [W]	27932					27932				

Tabela 2. Anteny radioliniowe - dane otrzymane od klienta

Charakterystyka promieniowania				kierunkowa			
Rzeczywisty czas pracy [h/dobę]				24			
Rodzaj wytwarzanego pola				stacjonarne			
Lp.	Linia radiowa			Antena			
	typ/producent	częstotliwość pracy [GHz]	moc wyjściowa [dBm]	typ/producent	średnica anteny [m]	azymut [°]	wysokość zainstalowania n.p.t. [m] (środek elektryczny anteny)
1	OPTIX RTN/HUAWEI	80	18	A80S03/Huawei	0,3	67	34,50
2	OPTIX RTN/HUAWEI	80	18	A80S03/Huawei	0,3	250	34,50
3	OPTIX RTN/HUAWEI	80	18	VHLP1-80/Andrew	0,3	281	34,55

## 6. Wyniki pomiarów.

Wyniki pomiarów pól elektromagnetycznych dla celów ochrony środowiska przedstawia poniższa tabela. Piony pomiarowe zostały przedstawione w zał. 2.

Nr PP	Pole-E [V/m]	Pole-E+U [V/m]	Pole-H [A/m]	Pole-H +U [A/m]	Wysokość pomiaru [m]	Współrzędne PP x, y	Opis PP	WM <sub>E</sub>	WM <sub>H</sub>
1	1,6	2,54	0,004	0,007	0,3 - 2,0	54°23'18.41" N 18°37'31.13" E	otoczenie stacji bazowej - 50 m wzdłuż gł. osi promieniowania - GKP	0,092	0,092
2	1,4	2,22	0,004	0,006	0,3 - 2,0	54°23'19.22" N 18°37'33.53" E	otoczenie stacji bazowej - 100 m wzdłuż gł. osi promieniowania - GKP	0,081	0,081
3	1,5	2,38	0,004	0,006	0,3 - 2,0	54°23'20.03" N 18°37'35.93" E	otoczenie stacji bazowej - 150 m wzdłuż gł. osi promieniowania - GKP	0,087	0,087
4	0,7*	1,27	0,002	0,003	0,3 - 2,0	54°23'21.64" N 18°37'40.73" E	otoczenie stacji bazowej - 250 m wzdłuż gł. osi promieniowania - GKP	0,046	0,046
5	2,1	3,33	0,006	0,009	0,3 - 2,0	54°23'22.45" N 18°37'43.13" E	otoczenie stacji bazowej - 300 m wzdłuż gł. osi promieniowania - GKP	0,121	0,121
6	1,0	1,59	0,003	0,004	0,3 - 2,0	54°23'13.57" N 18°37'31.35" E	otoczenie stacji bazowej - 100 m wzdłuż gł. osi promieniowania - GKP	0,058	0,058
7	0,7*	1,27	0,002	0,003	0,3 - 2,0	54°23'6.37" N 18°37'38.47" E	otoczenie stacji bazowej - 357 m wzdłuż gł. osi promieniowania - GKP	0,046	0,046
8	1,4	2,22	0,004	0,006	0,3 - 2,0	54°23'15.64" N 18°37'25.21" E	otoczenie stacji bazowej - 50 m wzdłuż gł. osi promieniowania - GKP	0,081	0,081
9	0,7*	1,27	0,002	0,003	0,3 - 2,0	54°23'14.3" N 18°37'21.6" E	otoczenie stacji bazowej - 120 m wzdłuż gł. osi promieniowania - GKP	0,046	0,046
10	0,7*	1,27	0,002	0,003	0,3 - 2,0	54°23'12.41" N 18°37'15.61" E	otoczenie stacji bazowej - 250 m wzdłuż gł. osi promieniowania - GKP	0,046	0,046
11	1,4	2,22	0,004	0,006	0,3 - 2,0	54°23'11.6" N 18°37'13.21" E	otoczenie stacji bazowej - 300 m wzdłuż gł. osi promieniowania - GKP	0,081	0,081
12	1,2	1,91	0,003	0,005	0,3 - 2,0	54°23'17.85" N 18°37'26.22" E	otoczenie stacji bazowej - 50 m wzdłuż gł. osi promieniowania - GKP	0,069	0,069
13	1,1	1,75	0,003	0,005	0,3 - 2,0	54°23'20.65" N 18°37'23.45" E	otoczenie stacji bazowej - 150 m wzdłuż gł. osi promieniowania - GKP	0,064	0,063
14	1,0	1,59	0,003	0,004	0,3 - 2,0	54°23'22.05" N 18°37'22.07" E	otoczenie stacji bazowej - 200 m wzdłuż gł. osi promieniowania - GKP	0,058	0,058
15	1,9	3,02	0,005	0,008	0,3 - 2,0	54°23'24.85" N 18°37'19.3" E	otoczenie stacji bazowej - 300 m wzdłuż gł. osi promieniowania - GKP	0,110	0,110
16	1,0	1,59	0,003	0,004	0,3 - 2,0	54°23'26.45" N 18°37'17.72" E	otoczenie stacji bazowej - 357 m wzdłuż gł. osi promieniowania - GKP	0,058	0,058
17	1,4	2,22	0,004	0,006	0,3 - 2,0	54°23'18.86" N 18°37'33.83" E	otoczenie stacji bazowej - 100 m wzdłuż gł. osi promieniowania - GKP	0,081	0,081
A	1,3	2,06	0,003	0,005	0,3 - 2,0	54°23'17.0" N 18°37'28.6" E	ul. Baczyńskiego 2, pomiar przy budynku - DPP	0,075	0,075
B	1,2	1,91	0,003	0,005	0,3 - 2,0	54°23'18.3" N 18°37'28.1" E	ul. Baczyńskiego 4, pomiar przy budynku - DPP	0,069	0,069

„Bez pisemnej zgody Laboratorium niniejsze sprawozdanie nie może być powielane inaczej, jak tylko w całości. Ponadto wyniki dotyczą tylko badanych obiektów przywołanych w niniejszym sprawozdaniu z badań”

Nr PP	Pole-E [V/m]	Pole-E+U [V/m]	Pole-H [A/m]	Pole-H +U [A/m]	Wysokość pomiaru [m]	Współrzędne PP x, y	Opis PP	WM <sub>E</sub>	WM <sub>H</sub>
C	0,8	1,27	0,002	0,003	0,3 - 2,0	54°23'20.7" N 18°37'28.3" E	ul. Baczyńskiego 6, pomiar przy budynku - DPP	0,046	0,046
D	1,2	1,91	0,003	0,005	0,3 - 2,0	54°23'179.4" N 18°37'25.0" E	ul. Hallera 169, pomiar przy budynku - DPP	0,069	0,069
E	1,4	2,22	0,004	0,006	0,3 - 2,0	54°23'17.1" N 18°37'24.8" E	ul. Hallera 167, pomiar przy budynku - DPP	0,081	0,081
F	1,3	2,06	0,003	0,005	0,3 - 2,0	54°23'15.7" N 18°37'24.4" E	ul. Kościuszki 107/ul. Hallera 159/161/163, pomiar przy budynku - DPP	0,075	0,075
G	1,2	1,91	0,003	0,005	0,3 - 2,0	54°23'14.5" N 18°37'25.2" E	ul. Hallera 157, pomiar przy budynku - DPP	0,069	0,069
H	0,9	1,43	0,002	0,004	0,3 - 2,0	54°23'14.0" N 18°37'24.2" E	ul. Hallera 155, pomiar przy budynku - DPP	0,052	0,052
I	1,0	1,59	0,003	0,004	0,3 - 2,0	54°23'14.7" N 18°37'27.5" E	ul. Ostroroga 1, pomiar przy budynku - DPP	0,058	0,058
J	1,6	2,54	0,004	0,007	0,3 - 2,0	54°23'15.3" N 18°37'29.7" E	ul. Kościuszki 111, pomiar przy budynku - DPP	0,092	0,092
K	1,1	1,75	0,003	0,005	0,3 - 2,0	54°23'17.8" N 18°37'30.0" E	ul. Kościuszki 132-154, pomiar przy budynku - DPP	0,064	0,063
L	1,2	1,91	0,003	0,005	0,3 - 2,0	54°23'16.9" N 18°37'33.0" E	ul. Kościuszki 116, pomiar przy budynku - DPP	0,069	0,069
M	1,5	2,38	0,004	0,006	0,3 - 2,0	54°23'20.8" N 18°37'37.7" E	ul. Bohomolca 29, pomiar przy budynku - DPP	0,087	0,087
N	2,1	3,33	0,006	0,009	0,3 - 2,0	54°23'22.4" N 18°37'43.3" E	ul. Baczyńskiego 12, pomiar przy budynku - DPP	0,121	0,121
O	1,3	2,06	0,003	0,005	0,3 - 2,0	54°23'12.3" N 18°37'33.1" E	ul. Racławicka 2/4/6, pomiar przy budynku - DPP	0,075	0,075
P	0,7*	1,27	0,002	0,003	0,3 - 2,0	54°23'10.9" N 18°37'34.4" E	ul. Manifestu Połanieckiego 18/20/22, pomiar przy budynku - DPP	0,046	0,046
R	0,7*	1,27	0,002	0,003	0,3 - 2,0	54°23'9.4" N 18°37'35.8" E	ul. Manifestu Połanieckiego 12/14/16, pomiar przy budynku - DPP	0,046	0,046
S	0,7*	1,27	0,002	0,003	0,3 - 2,0	54°23'7.9" N 18°37'36.8" E	ul. Klonowicza 22/24/26, pomiar przy budynku - DPP	0,046	0,046
T	0,7*	1,27	0,002	0,003	0,3 - 2,0	54°23'7.5" N 18°37'38.1" E	ul. Klonowicza 25, pomiar przy budynku - DPP	0,046	0,046
U	1,0	1,59	0,003	0,004	0,3 - 2,0	54°23'20.1" N 18°37'23.8" E	ul. Hallera 169, pomiar przy budynku - DPP	0,058	0,058
V	1,0	1,59	0,003	0,004	0,3 - 2,0	54°23'21.0" N 18°37'23.3" E	ul. Hallera 169, pomiar przy budynku - DPP	0,058	0,058
W	1,2	1,91	0,003	0,005	0,3 - 2,0	54°23'22.0" N 18°37'23.1" E	ul. Baczyńskiego 7a/7b, pomiar przy budynku - DPP	0,069	0,069
X	1,9	3,02	0,005	0,008	0,3 - 2,0	54°23'23.9" N 18°37'18.9" E	ul. Hallera 126, pomiar przy budynku - DPP	0,110	0,110
Y	2,3	3,65	0,006	0,010	0,3 - 2,0	54°23'26.1" N 18°37'18.3" E	ul. Kopalniana 1, pomiar przy budynku - DPP	0,133	0,133
Z	1,1	1,75	0,003	0,005	0,3 - 2,0	54°23'13.6" N 18°37'19.5" E	ul. Hallera 118/120, pomiar przy budynku - DPP	0,064	0,063
a	0,7*	1,27	0,002	0,003	0,3 - 2,0	54°23'12.9" N 18°37'16.0" E	ul. Dubois 82/84, pomiar przy budynku - DPP	0,046	0,046
b	1,1	1,75	0,003	0,005	0,3 - 2,0	54°23'11.4" N 18°37'14.1" E	ul. Dubois 78/80, pomiar przy ogrodzeniu - DPP	0,064	0,063
c	0,9	1,43	0,002	0,004	0,3 - 2,0	54°23'11.4" N 18°37'13.7" E	ul. Dubois 77/79, pomiar przy ogrodzeniu - DPP	0,052	0,052
d	1,4	2,22	0,004	0,006	0,3 - 2,0	54°23'11.0" N 18°37'12,1" E	ul. Dubois 73, pomiar przy ogrodzeniu - DPP	0,081	0,081

Wynik pomiaru pole - E [V/m] - maksymalna wartość chwilowa zmierzona w danym pionie pomiarowym (uśredniona na podstawie punktu 11 załącznika do Rozporządzenia Ministra Klimatu z dnia 17 lutego 2020 r. w sprawie sposobów sprawdzania dotrzymania dopuszczalnych poziomów pól elektromagnetycznych w środowisku (Dz.U. 2022 poz. 2630). Zgodnie z pkt. 7 załącznika do Rozporządzenia Ministra Klimatu

z dnia 17 lutego 2020 r. w sprawie sposobów sprawdzania dotrzymania dopuszczalnych poziomów pól elektromagnetycznych w środowisku (Dz.U. 2022 poz. 2630) nie stosuje się poprawek pomiarowych.

Przyjęto najniższą dopuszczalną wartość składowej elektrycznej pola dla objętego pomiarami zakresu częstotliwości  $\min(ME_{gr}) = 28 \text{ V/m}$  oraz składowej magnetycznej  $\min(MH_{gr}) = 0,073 \text{ A/m}$ .

\* - wartość zmierzona poniżej zakresu akredytacji. Do obliczeń przyjęto wartość zgodną z dolną granicą akredytowanego zakresu pomiarowego metody.

GKP - główne kierunki pomiarowe

PKP - pomocnicze kierunki pomiarowe

DPP - dodatkowe punkty pomiarowe

PP - pion pomiarowy

U - niepewność pomiarowa rozszerzona, przy poziomie ufności 95%, z uwzględnieniem współczynnika rozszerzenia  $k=2$

$WM_E$  - wartość wskaźnikowa poziomu emisji pól elektromagnetycznych dla miejsc dostępnych dla ludności dla składowej elektrycznej pola

$WM_H$  - wartość wskaźnikowa poziomu emisji pól elektromagnetycznych dla miejsc dostępnych dla ludności dla składowej magnetycznej pola

## 7. Stwierdzenie zgodności

Na podstawie wytycznych podanych w Rozporządzeniu Ministra Zdrowia z dnia 17 grudnia 2019 r. w sprawie dopuszczalnych poziomów pól elektromagnetycznych w środowisku (Dz.U. 2019 poz. 2448) oraz sposobów sprawdzania dotrzymania tych poziomów zgodnie z Rozporządzeniem Ministra Klimatu z dnia 17 lutego 2020 r. w sprawie sposobów sprawdzania dotrzymania dopuszczalnych poziomów pól elektromagnetycznych w środowisku (Dz.U. 2022 poz. 2630), dotyczących źródła wymagań, które muszą być spełnione, w oparciu o zasadę podejmowania decyzji zgodną z pkt. 26 Rozporządzenia Ministra Klimatu z dnia 17 lutego 2020 r. (Dz.U. 2022 poz. 2630), na podstawie wyników pomiarów pól elektromagnetycznych wykonanych w dniu 2023-06-21 stwierdzono, że wszystkie wyniki przeprowadzonych pomiarów w danym obszarze pomiarowym oraz wyznaczone na tej podstawie wskaźniki WME oraz WMH są mniejsze od wartości dopuszczalnych – zgodnie z przepisami wydanymi na podstawie art. 122 ust. 1 ustawy z dnia 27 kwietnia 2001 r. – Prawo ochrony środowiska – załącznikiem do Rozporządzenia Ministra Klimatu i Środowiska z dnia 17 lutego 2020 r. w sprawie sposobów sprawdzania dotrzymania dopuszczalnych poziomów pól elektromagnetycznych w środowisku (Dz.U. 2022 poz. 2630, pkt 26).

## 8. Oświadczenie.

Wyniki badania odnoszą się wyłącznie do badanego obiektu.

Bez pisemnej zgody sprawozdanie nie może być powielane inaczej, jak tylko w całości.

Uwagi i zastrzeżenia przyjmowane są w formie pisemnej.

## 9. Spis załączników.

Załącznik 1. Lokalizacja obiektu.

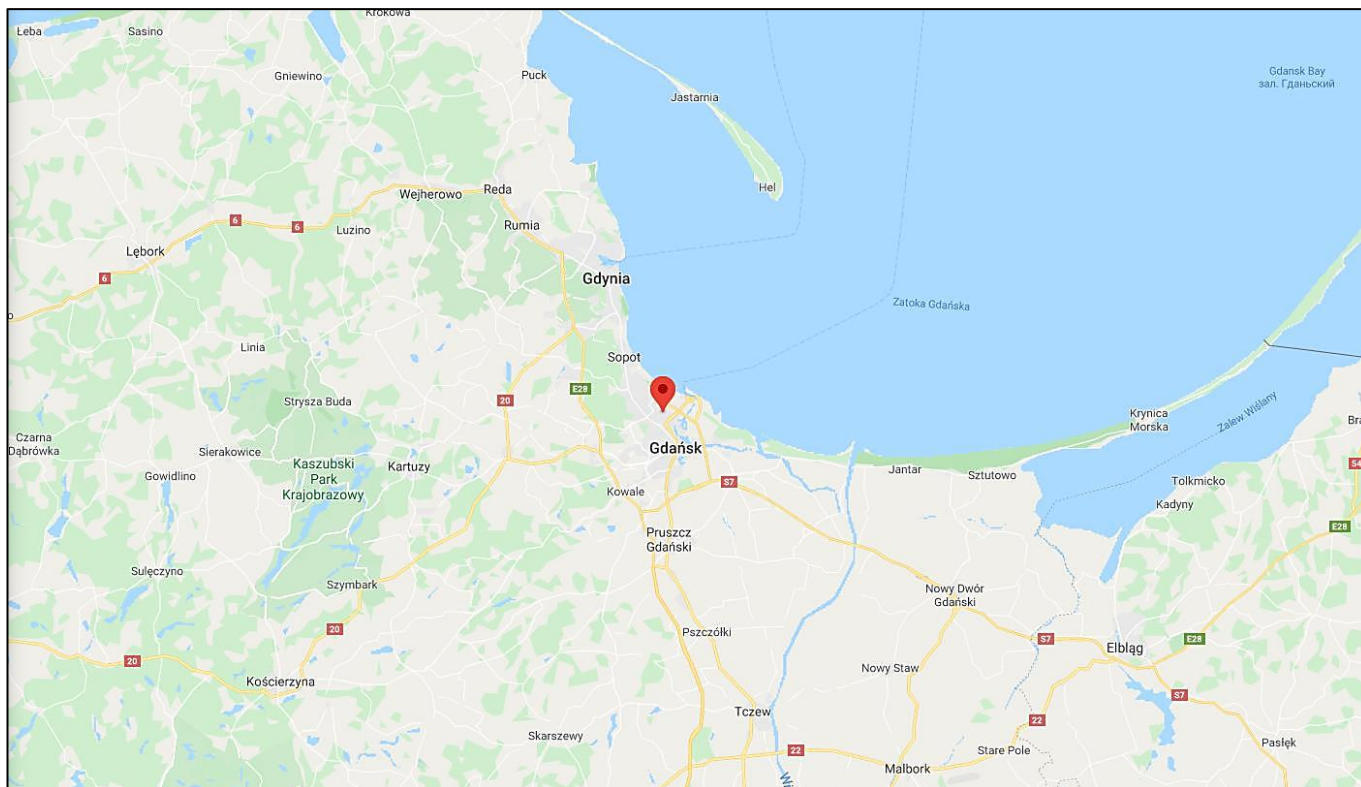
Załącznik 2. Widok pionów pomiarowych.

Załącznik 3. Widok stacji bazowej.

**Koniec sprawozdania**



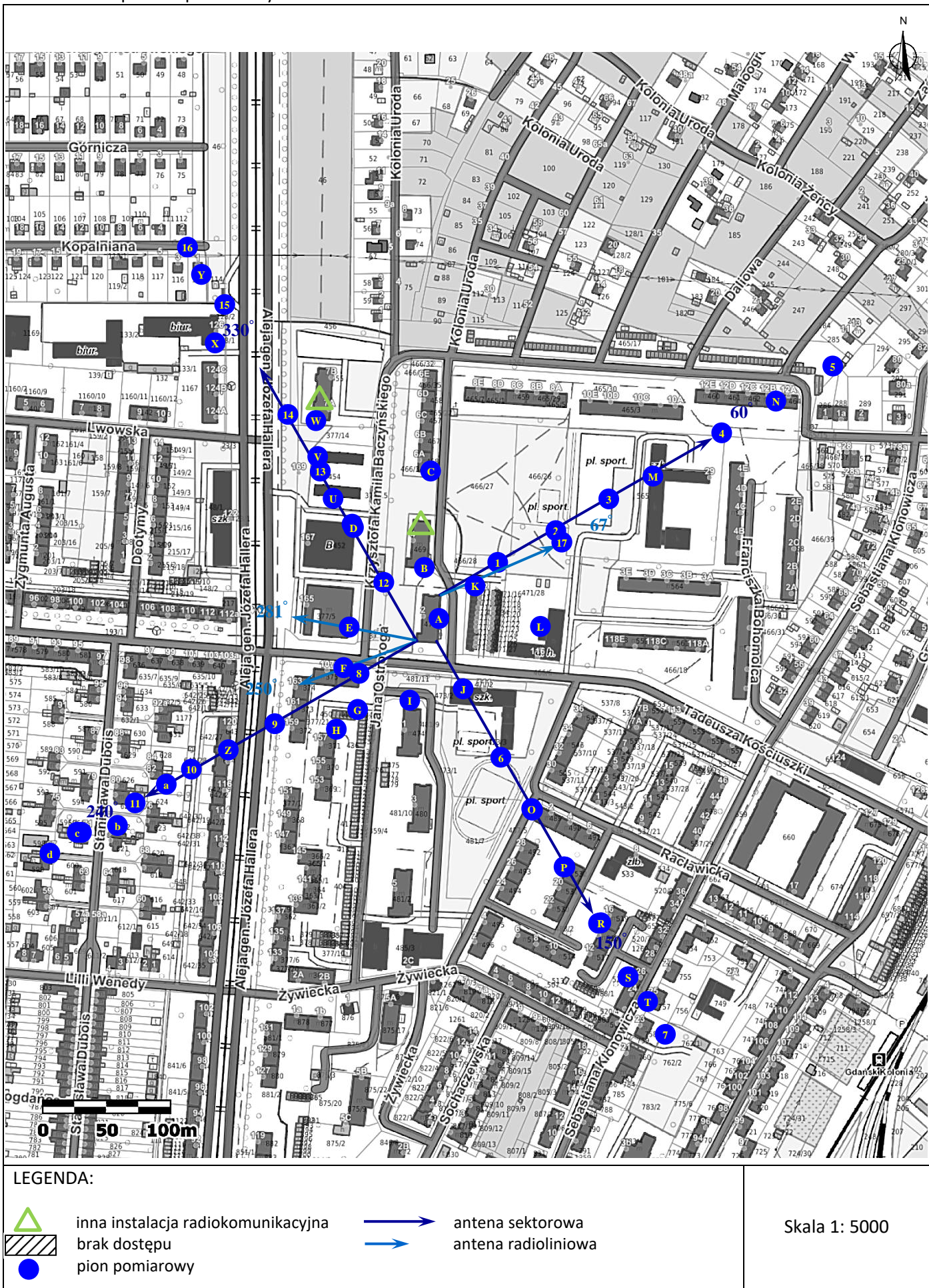
## Zał. 1. Lokalizacja obiektu



Współrzędne geograficzne	
szerokość:	54°23'17.14"N
długość:	18°37'28.58"E



Załącznik 2. Widok pionów pomiarowych



„Bez pisemnej zgody Laboratorium niniejsze sprawozdanie nie może być powielane inaczej, jak tylko w całości. Ponadto wyniki dotyczą tylko badanych obiektów przywołanych w niniejszym sprawozdaniu z badań”  
14/06/OŚ/2023-P4

### Załącznik 3. Załączniki graficzne

